

## Stavové rovnice

Stavová rovnice je vztah mezi  $p, T, V$  a  $n$  (u směsi složením  $n_i$ ), alternativně  $p, T, V_m = V/n$  (u směsi ještě  $x_i$ ) či jinými ekvivalentními veličinami.

### plyn (čistá látka)

ideální plyn:  $pV_m/RT = 1$

viriálová EOS:  $pV_m/RT = 1 + B/V_m + C/V_m^2$

$B$  (= druhý viriálový koeficient) je dán párovými interakcemi:

$$B = -\frac{N_A}{2} \int [e^{-u(r)/k_B T} - 1] d\vec{r} = \frac{v N_A}{2}$$

### plyn + kapalina (čistá látka)

kubické dvoukonstantové: van der Waals, Redlich-Kwong, ...: nastavení na  $T_c, \rho_c$

→ teorém korespondujících stavů = po přeškálování vypadá VLE fáz. diag. všech látek stejně

### tříkonstantové

lepší reference: augmented van der Waals, SAFT

vícekonstantové empirické: Benedict-Webb-Rubin

empirické (pro VLE): (I) pomocí aktivitních koeficientů, (g) ideální plyn

## Stavové rovnice

### kapaliny, příp. kapalina+pevná látka

mřížkové teorie: kapaliny: Hildebrand, kapaliny a polymery: Flory-Huggins

teorie založené na popisu struktury pomocí korelačních funkcí (integrální rovnice, poruchové teorie, diagramové techniky)

### Základní teoretické postupy

odhad entropické části: ideální plyn/směs

odhad energetické části: střední pole (mean field) okolních (= náhodně se vyskytujících) molekul

oblast kritického bodu: renormalizace

poruchové teorie (vhodná snadno popsatelná referenze jako tuhé koule + přitažlivé síly jako porucha)

## van der Waalsova stavová rovnice: $p$

### Mezimolekulové síly:

odpudivé (repulze):

$$V_m \rightarrow V_m - b$$

$$\begin{cases} p = p \\ a = a \\ b = b \\ c = T \end{cases}$$

Molekulám je dostupný objem menší o vlastní objem molekul  $b$ .

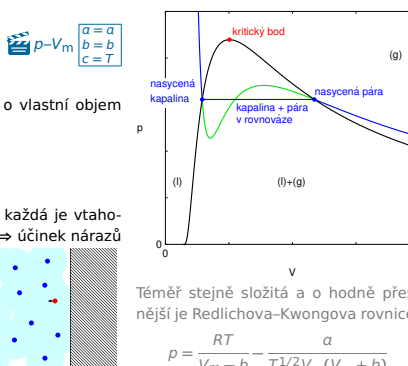
přitažlivé (atrakce),

$$p \rightarrow p + a/V_m^2$$

Molekul u stěny je  $\propto 1/V_m$  a zároveň každá je vtahována do objemové fáze silou  $\propto 1/V_m$ , ⇒ účinek nárazů klesne  $\propto 1/V_m^2$ .

$$pV_m = RT$$

$$\left( p + \frac{a}{V_m^2} \right) (V_m - b) = RT$$



## van der Waalsova stavová rovnice jinak

### Rozvoj kolem ideálního plynu jako reference:

entropie id. plyn:  $S_m = R \ln V_m + \text{const}$  (dostupný prostor =  $V_m$ )  
van der Waals:  $S_m = R \ln(V_m - b) + \text{const}$  (dostupný prostor =  $V_m - b$ )

energie id. plyn:  $U_m^o(T)$  (molekuly neinteragují, argon:  $U_m^o(T) = \frac{3}{2}RT$ )  
van der Waals:  $U_m = U_m^o(T) - a/V_m$  (square-well pro  $\lambda \rightarrow \infty$ )

$$\begin{aligned} F_m &= U_m - TS_m = U_m^o(T) - \frac{a}{V_m} - RT \ln(V_m - b) \\ &\Rightarrow p = -\left(\frac{\partial F}{\partial V}\right)_T = -\frac{a}{V_m^2} + \frac{RT}{V_m - b} \text{ to samé} \end{aligned}$$

Podmínky pro kritický bod (za konst.  $T$ , nutné):  $\frac{\partial p}{\partial V} = -\frac{\partial^2 F}{\partial V^2} = 0, \quad \frac{\partial^2 p}{\partial V^2} = -\frac{\partial^3 F}{\partial V^3} = 0$

graf  $F_{vdW}(V)$  pro  $[T]$  ⇒ na  $U_m^o$  nezáleží ⇒ použito  $U_m^o = 0$

### Rovnováha a stabilita

Termodynamické potenciály  $F, G, U, H$  jsou vždy konvexní (nikoliv nutně rye; nekonkávní) funkce všech přirozených proměnných.

Pokud (v modelu) nejsou konvexní, existuje bod s nižší hodnotou potenciálu (na konvexním obalu), který odpovídá dvěma fázím v rovnováze. Např.:

$$\bar{\phi} = \frac{\bar{V} - V}{\bar{V} - \bar{V}} \quad \text{díl fáze s objemem } \bar{V}$$

$$\bar{\phi} = \frac{V - \bar{V}}{\bar{V} - \bar{V}} \quad \text{díl fáze s objemem } \bar{V}$$

pak

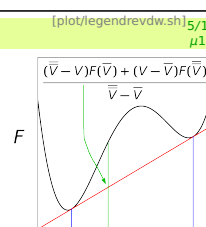
$$\bar{\phi}F(\bar{V}) + \bar{\phi}F(\bar{V}) < F(V)$$

společná tečna spojuje fáze v rovnováze

$(\partial^2 F / \partial V^2)_T > 0$  a  $F(V)$  leží na konvexním obalu = fáze je stabilní

$(\partial^2 F / \partial V^2)_T > 0$  a  $F(V)$  neleží na konvexním obalu = fáze je metastabilní, k přechodu na stabilní fázi nutno překonat bariéru (nukleace)

$(\partial^2 F / \partial V^2)_T < 0$  fáze je nestabilní, okamžitě se rozpadá (spinodální dekompozice)



Helmholtzova energie uzavřeného systému při nerovnovážných déjích za konstantní teplotu a konstantního objemu klesá; v rovnováze nabývá minima.

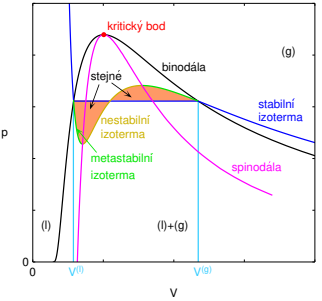
## VLE čisté látky ze stavové rovnice

Maxwellovo pravidlo: oranžové plochy jsou stejné.

Důkaz: Za konst.  $T$  integrujeme plochy se znaménkem:

$$\begin{aligned} \int_{V^{(I)}}^{V^{(g)}} (p_{EOS} - p_{rovna}) dV &= -(V^{(g)} - V^{(I)}) p_{rovna} + \int_{V^{(I)}}^{V^{(g)}} p_{EOS} dV \\ &= -(V^{(g)} - V^{(I)}) p_{rovna} - [F(V^{(g)}) - F(V^{(I)})] \\ &= -\Delta V p_{rovna} - \Delta V p_F = -\Delta V p_G = 0 \end{aligned}$$

$$dF = -SdT - pdV$$

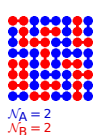


6/19  
μ13

## Mřížkový model směsi

Uvažujeme model složený z „monomerů“ (nikoliv nutně chemických či Kuhnových) nebo „článků“ na mřížce.

Zároveň platí Amagatův zákon (objem se smícháním nezmění).



Molekula A nechť zaujímá  $N_A$  mřížkových bodů (≈ má  $N_A$  článků řetězce). a (po zafixování 1 referenčního článku) může existovat v  $W_{i,A}$  konformacích.

Molekula B:  $N_B$  mřížkových bodů,  $W_{i,B}$  konformací

Počet stavů molekuly A na mřížce o počtu vrcholů  $n_A$  je

$$W_A = n_A W_{i,A}$$

Počet stavů molekuly A na mřížce o počtu vrcholů  $n = n_A + n_B$  je

$$W = n W_{i,A}$$

(předpokládáme, že počet konformací molekuly A ve směsi s B je stejný jako v čisté látce, totiž  $W_{i,A}$ )

7/19  
μ13

## Mřížkový model směsi II: entropie v akci

Změna entropie látky A je

$$\Delta_{mix} S_A = k_B \ln W - k_B \ln W_A = -k_B \ln(n_A/n) \equiv -k_B \ln \phi_A$$

kde  $\phi_A$  je objemový zlomek. Počet molekul typu A je  $n_A/N_A$ . Pro obě molekuly:

$$\Delta_{mix} S = -k_B \left( \frac{n_A}{N_A} \ln \phi_A + \frac{n_B}{N_B} \ln \phi_B \right)$$

Směšovací entropie na jeden vrchol mřížky je

$$\Delta_{mix} \bar{S} = \frac{\Delta_{mix} S}{n} = -k_B \left( \frac{\phi_A}{N_A} \ln \phi_A + \frac{\phi_B}{N_B} \ln \phi_B \right)$$

Pro monomery ( $N_A = N_B = 1$ ) o stejném objemu ( $\phi_A = x_A$ ), na mol:

$$\Delta_{mix} S_m = -R(x_A \ln x_A + x_B \ln x_B)$$

což je ideální směšovací entropie.

Pro roztok 1 makromolekuly A v rozpuštědle B

$$\Delta_{mix} \bar{S} = -k_B \left( \frac{\phi_A}{N_A} \ln \phi_A + \phi_B \ln \phi_B \right)$$

což je méně.

8/19  
μ13

## Mřížkový model směsi III

Roztok s ideální směšovací entropií (náhodným rozmístěním molekul na mřížce) a chovající se podle Amagatova zákona, ale obecně s neideální směšovací energií (entalpií), se nazývá regulární roztok. Název obvy. rezervován pro malé molekuly, ne polymery.

Bývá dobrou approximací, jsou-li změny energie malé (efekt 2. řádu).

Střední energie směsi monomerů ( $N_A = N_B = 1$ ) na mřížce s koordinačním číslem (počtem sousedů) z (tzv. směšovací pravidlo):

energie i vedle jí:  $u_{ij} < 0$

$$U = \frac{zn}{2} [u_{AA}\phi^2 + 2u_{AB}\phi(1-\phi) + u_{BB}(1-\phi)^2]$$

kde  $\phi = \phi_A, \phi_B = 1 - \phi$ . Pro jednoduchost budu předpokládat platnost i pro polymery ( $N_A, N_B > 1$ ).

$$\Delta_{mix} U = U - U_A - U_B = -\frac{zn}{2} u_{AA}\phi - \frac{zn}{2} u_{BB}(1-\phi) = \frac{zn}{2} \phi(1-\phi)(2u_{AB} - u_{AA} - u_{BB})$$

Na 1 vrchol mřížky:

$$\Delta_{mix} \bar{U} = x\phi(1-\phi)k_B T$$

χ lze odhadnout ze směšovací entalpie

kde Floryho(-Hugginsův) interakční parametr je

$$\chi = \frac{z(2u_{AB} - u_{AA} - u_{BB})}{kbT} \approx u_{AB} + Cv_{chol}T \quad A + \frac{B}{T}$$

pro mě:  $a = x$

## Helmholtzova energie směsi

Helmholtzova energie směsi (na 1 vrchol mřížky)

$$\Delta_{mix} \bar{F} = \Delta_{mix} \bar{U} - T \Delta_{mix} \bar{S} = k_B T \left[ \frac{\phi}{N_A} \ln \phi + \frac{1-\phi}{N_B} \ln (1-\phi) + \chi \phi (1-\phi) \right]$$

regulární roztok ( $N_A = N_B = 1$ ) (Hildebrand):

$$\Delta_{mix} \bar{F} = k_B T [\phi \ln \phi + (1-\phi) \ln (1-\phi) + \chi \phi (1-\phi)]$$

roztok polymeru A v rozpuštědle B (Flory-Huggins):

$$\Delta_{mix} \bar{F} = k_B T \left[ \frac{\phi}{N_A} \ln \phi + (1-\phi) \ln (1-\phi) + \chi \phi (1-\phi) \right]$$

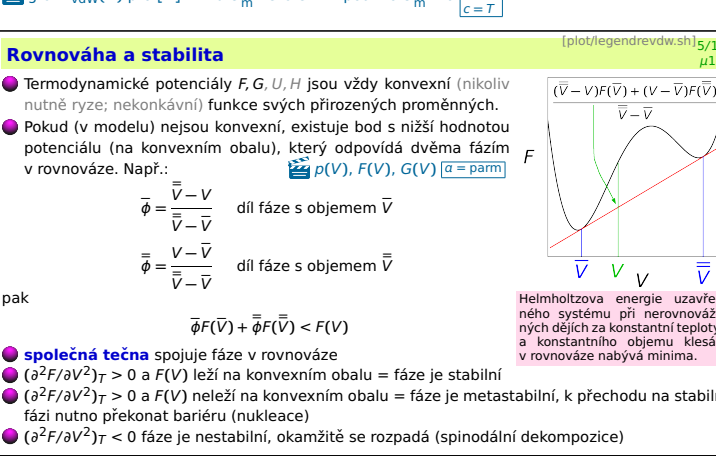
pro mě:  $a = x$

Poznámky k ukázce:

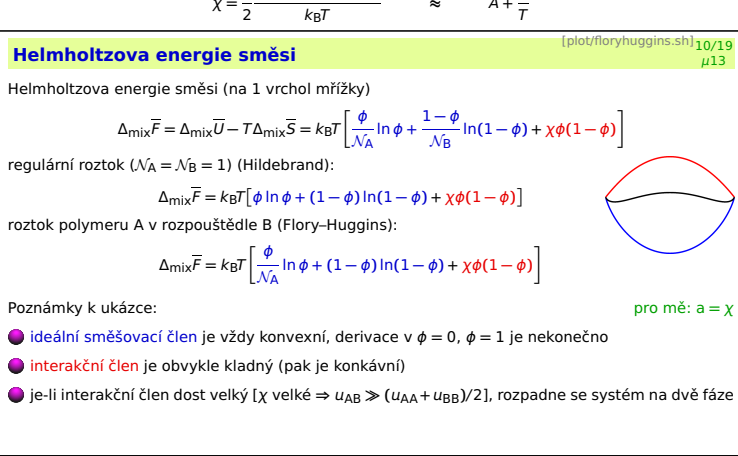
ideální směšovací člen je vždy konvexní, derivace v  $\phi = 0, \phi = 1$  je nekonečno

interakční člen je obvykle kladný (pak je konkávní)

je-li interakční člen dost velký [ $\chi$  velké ⇒  $u_{AB} \gg (u_{AA} + u_{BB})/2$ ], rozpadne se systém na dvě fáze



5/19  
μ13



10/19  
μ13

## Hustota kohezní energie

11/19  
μ13

= energie potřebná pro rozebrání jednotkového objemu látky a přenesení molekul do  $\infty$ :

$$\Delta_{\text{vap}} U_{\text{vol}} = \frac{\Delta_{\text{vap}} U_m}{V_m} = \frac{\Delta_{\text{vap}} H_m - RT}{V_m}$$

## Hildebrandův parametr rozpustnosti:

$$\delta = \sqrt{\Delta_{\text{vap}} U_{\text{vol}}}$$

Jednotka: MPa $^{1/2}$  (příp. (cal cm $^{-3}$ ) $^{1/2}$  = 2.0455 MPa $^{1/2}$ )

Látky s podobným  $\delta$  se v sobě rozpouští, polymer bobtná.

Špatně funguje pro silně polární a vodíkové vazby.

Příklady:

látka	$\delta/\text{MPa}^{1/2}$
n-hexan	15
chloroform	19
ethanol	26
voda	48

látka	$\delta/\text{MPa}^{1/2}$
poly(ethylen)	16
PVC	19
nylon 6,6	28
(hydroxyethyl)methakrylát	52

## Kombinační pravidla

12/19  
μ13

Označme objem připadající na mřížkový bod =  $v_0$

Energie na 1 vrchol v čisté látce A:  $-\frac{zu_{AA}}{2} = v_0 \Delta_{\text{vap}} U_{\text{vol}} = v_0 \delta_A^2$

Energie na 1 vrchol v čisté látce B:  $-\frac{zu_{BB}}{2} = v_0 \Delta_{\text{vap}} U_{\text{vol}} = v_0 \delta_B^2$

Odhad energie A-B geometrickým průměrem:  $-\frac{zu_{AB}}{2} = v_0 \delta_A \delta_B$

→

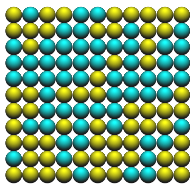
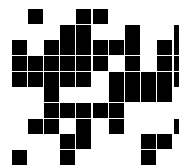
$$X = \frac{z u_{AB} - u_{AA} - u_{BB}}{2} = \frac{v_0}{k_B T} (\delta_A - \delta_B)^2 > 0$$

● vyhovující pro Londonovy interakce

● horší pro polární molekuly či vodíkové vazby

## Mřížkové modely: Isingův model

16/19  
μ13



Jako model binární slitiny:

$$U = - \sum_{\langle i,j \rangle} \epsilon_{ij} k_j + \sum_i \mu_i n_i$$

$\epsilon_{ij}$  = interakce sousedních atomů  
 $\mu_i$  = chem. pot. atomů  
Ekviv.:  $n_i = 0 \sim k_i = \bullet$   
Ekviv.:  $n_i = 1 \sim k_i = \circ$

[pic/klas.sh] + 17/19 μ13

Jako model feromagnetu:

$$U = -J \sum_{\langle i,j \rangle} s_i s_j + h \sum_i s_i$$

$$s_i \in \{-1, +1\} = \{\bullet, \square\}$$

$J$  = interakční konstanta:

$J > 0$ : feromagnet,

$J < 0$ : antiferomagnet

$h$  = intenzita magn. pole

Kritický (Curieův) bod:  $h_c = 0$ ;

2D:  $k_B T_c = 2J / \ln(1 + \sqrt{2})$

Jako mřížkový plyn:

$$U = -\epsilon \sum_{\langle i,j \rangle} n_i n_j + \mu \sum_i n_i$$

$$n_i \in \{0, 1\} = \{\bullet, \square\}$$

$\epsilon$  = velikost přítlaživých sil

$\mu$  = chemický potenciál

Ekvivalence:

$$n_i = (1 + s_i)/2$$

[pic/klas.sh] + 17/19 μ13

## Vsuvka: klasifikace fázových přechodů

[pic/klas.sh] + 17/19 μ13

● 1. řádu (first-order), též 1. druhu: nespojitá 1. derivace  $G, F$  aj., tj. skok v entalpii, hustotě aj.; příklady: krystalizace, tání, var, sublimace

→ → →

● (Ehrenfest)  $n$ -tého řádu: nespojitá  $n$ -tá derivace  $G, F$

→ → →

● spojité (continuous), též 2. řádu:

– divergence 2. derivace: kritický bod kapalina-pára, Curieův bod lambda-přechod He, některé tekuté krystaly perkolace

→ → →

– všechny derivace spojité (Kosterlitz-Thouless, Nobelova cena 2016):

$$\text{např.: } f(x) = \begin{cases} e^{-1/x} & \text{pro } x > 0 \\ 0 & \text{pro } x \leq 0 \end{cases} : \text{XY model, 2D s +/- excitacemi} \\ - \dots$$

→ → →

Zeskelnění (glass transition) = viskozita > 10<sup>12</sup> Pa s, není fázový přechod.

Vznik micel (v CMC) není fázový přechod.

Krystalizace micel (do lamínární/fibrilární fáze) je fázový přechod 1. druhu.

S jistotou nevíme, jakého typu je krystalizace tuhých disků (asi 1. druhu). → → →

## Bonus: Kritický bod jako náhodný fraktál

[tchem/showisi.sh] 18/19 μ13

Isingův model jako mřížkový plyn či binární směs. Transformace:

● čtvereček 3 × 3 → 1 × 1

● barva dle převládající barvy 9 čtverečků

Konfigurace po renormalizaci „vypadá stejně“ jako konfigurace původního systému při jiné teplotě.



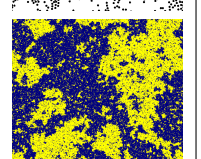
Renormalizace pro  $h = 0$ :

● pro  $T > T_c$  je  $T' > T$ , tj. renormalizovaná konfigurace je „náhodnější“

● pro  $T < T_c$  je  $T' < T$ , tj. renormalizovaná konfigurace obsahuje méně spinů opačného znaménka

● pro  $T = T_c$  je  $T' = T$ , tj. renormalizovaná konfigurace vypadá stejně, t.j. je to fraktál

Renormalizací se vzdalujeme od kritického bodu



## Stabilita fází

[uvodsim/showisi.sh] 14/19 μ13

Helmholtzova ( $F(V, \phi, \dots)$ ) a Gibbsova ( $G(p, \phi, \dots)$ ) energie systému v rovnováze jsou vždy nekonákovní funkce.



Pokud ne, rozpadne se systém na dvě fáze

Množství fází: pákové pravidlo

● Lokálně stabilní:  $\frac{\partial^2 F}{\partial \phi^2} > 0$

● Stabilní: lokálně stabilní + leží na konkavním obalu

● Metastabilní: lokálně stabilní + neleží na konkavním obalu → vznik stabilní fáze **nukleací**

● Lokálně nestabilní:  $\frac{\partial^2 F}{\partial \phi^2} < 0$

→ vznik stabilní fáze **spinodální dekompozicí**

● Spinodála (inflexní bod):  $\frac{\partial^2 F}{\partial \phi^2} = 0$

Spinodála je pojem teorii středního pole, v experimentu nedosažitelná

● Kritický bod:  $\frac{\partial^2 F}{\partial \phi^2} = \frac{\partial^3 F}{\partial \phi^3} = 0, \frac{\partial^4 F}{\partial \phi^4} > 0$

$f(x)$  je konkavní v intervalu  $I$  když  $\forall x, y \in I$  a  $\forall t \in [0, 1] : f(tx + (1-t)y) \leq tf(x) + (1-t)f(y)$   
striktě (ryze) konkavní: <  
konkávní: ≥  
striktě (ryze) konkávní: >

## Kritické exponenty

19/19 μ13

Flory-Huggins, van der Waals a jiné **klasické teorie** dávají pro  $T \approx T_c$ ,  $T < T_c$ :

$$\rho^{(l)} - \rho^{(g)} \approx \text{const}(T - T_c)^{1/2}$$

Správně je ale

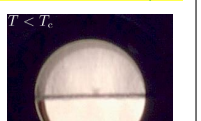
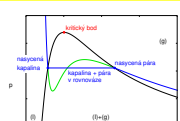
$$\rho^{(l)} - \rho^{(g)} \approx \text{const}(T - T_c)^\beta$$

kde  $\beta = 0.326419(3)$  je **kritický exponent**

Hodnota pochází ze simulací a renormalizačních studií 3D Isingova modelu a věří se, že je univerzální.

2D Ising:  $\beta = 1/8$  (analyticky)

Kritická fáze má **nekonečnou kompresibilitu** a obsahuje **fluktuace hustoty**, které ubývají se vzdáleností jako  $r^\eta$  a provějují se **kritickou opalescencí**



## Příklad: symetrická tavenina polymerů

15/19 μ13

Symetrická tavenina:  $N_A = N_B = \mathcal{N}$  (= 1 pro regulární roztok)

$$\Delta_{\text{mix}} \bar{F} = k_B T \left[ \frac{\phi}{\mathcal{N}} \ln \phi + \frac{1-\phi}{\mathcal{N}} \ln(1-\phi) + \chi \phi(1-\phi) \right]$$

$$\text{Binodála: } \frac{\partial \Delta_{\text{mix}} \bar{F}}{\partial \phi} = 0 \Rightarrow \chi = \frac{\ln[\phi/(1-\phi)]}{(2\phi-1)\mathcal{N}}$$

$$\text{Spinodála: } \chi = \frac{1}{2\mathcal{N}} \left( \frac{1}{\phi} + \frac{1}{1-\phi} \right)$$

$$\text{Kritický bod (symetrická směs): } \chi = \frac{2}{\mathcal{N}}, \phi = \frac{1}{2}$$

$$\text{Kritický bod (obecná směs): } \chi = \frac{1}{2} \left( 1/\sqrt{N_A} + 1/\sqrt{N_B} \right)^2, \phi = \frac{\sqrt{N_A}}{\sqrt{N_A} + \sqrt{N_B}}$$

● Pro  $\chi = A + B/T$ ,  $B > 0$  (obvyklejší případ):  
 $T_{\text{crit}} = \text{horní kritická rozpouštěcí teplota (UCST)}$

● Pro  $\chi = A + B/T$ ,  $B < 0$  (méně časté):  
 $T_{\text{crit}} = \text{dolní kritická rozpouštěcí teplota (LCST)}$

